

УДК 534.286

©1995

## ПОГЛОЩЕНИЕ АКУСТИЧЕСКИХ ВОЛН В МОНОКРИСТАЛЛАХ ЛАНГАСИТА

*Г.Д.Мансфельд, В.В.Безделкин, А.Д.Фреик, Е.С.Кучерявая*

Институт радиотехники РАН, Москва

(Поступила в Редакцию 12 сентября 1994 г.)

Методом составного резонатора измерены частотные зависимости коэффициента поглощения продольных и поперечных акустических волн в основных кристаллографических направлениях лангасита ( $\text{La}_3\text{Ga}_5\text{SiO}_{14}$ ). В диапазоне частот 1–3 GHz продольные и поперечные акустические волны во всех измеренных кристаллографических направлениях имеют квадратичную частотную зависимость. Полученные значения коэффициента поглощения для всех направлений оказались меньшими или приблизительно равными значениям коэффициента поглощения в монокристаллах кварца. Использование резонаторной методики позволило также изучить факторы, влияющие на добротность резонаторов.

В последние годы появился целый ряд работ, посвященных изучению акустических свойств лангасита ( $\text{La}_3\text{Ga}_5\text{SiO}_{14}$ ) [1–3], который считается одним из наиболее перспективных материалов для пьезоэлектроники и техники стабилизации и селекции частоты. По данным [4], лангасит имеет акустические потери меньшие, чем кварц, обладая при этом большим коэффициентом электромеханической связи. Однако данные по решеточному поглощению в этом материале носят отрывочный характер [3,4].

В настоящей работе приведены результаты экспериментального исследования поглощения продольных и поперечных акустических волн в  $X$ -,  $Y$ - и  $Z$ -срезах лангасита в СВЧ-диапазоне, полученные методом составного резонатора, который подробно изложен в [5,6]. Общие потери в резонаторе состоят из решеточных и дополнительных потерь, связанных с дифракцией акустических волн на апертуре преобразователя, с их рассеянием на шероховатостях поверхностей, с уходом энергии из-за непараллельности плоскостей пластины, а также с другими паразитными эффектами. В настоящей работе, чтобы отделить эти дополнительные потери, полные потери, измеренные при комнатной температуре, сравнивались с данными, полученными при гелиевых температурах. Внутренние потери в материале находились из разности между результатами этих измерений. При этом предполагалось, что перечисленные выше паразитные факторы слабо зависят от температуры.

# 1. Методика эксперимента

Метод составного резонатора основан на измерении частотных особенностей на фазово-частотной характеристике коэффициента отражения электромагнитного сигнала от многочастотного составного резонатора, структура которого показана на рис. 1, а. Составной резонатор состоит из исследуемого слоя (1) (в нашем случае пластина из ланагасита) и пьезоэлектрического преобразователя (2), включающего слой пьезодиэлектрика с металлическими пленочными электродами (3). При определенных легковыполнимых условиях согласования входного и измерительного трактов модуль  $|\Gamma|$  и фаза  $\text{Arg}(\Gamma)$  коэффициента отражения от такой структуры имеют вид, изображенный на рис. 1, б и в соответственно. Как это подробно показано в [5, 6], разница между положениями пиков на фазово-частотной характеристике  $\Delta f_n$  (для резонансной частоты  $f_n$ ) просто связана с коэффициентом поглощения  $\alpha$ . Для сильно поглощающих материалов, когда акустические потери в исследуемом материале вносят подавляющий вклад в общие потери, имеем

$$\alpha = \pi \Delta f_n (v_d)^{-1},$$

где  $v_d$  — скорость звука в исследуемом материале. Скорость  $v_d$  может быть найдена из измерений разности частот соседних резонансных пиков  $f_{n+1} - f_n$  [6]. В случае, если исследуются слабопоглощающие материалы, необходимо учитывать и другие слагаемые потерь, вносимых в общие потери в резонаторе

$$\alpha = \left( \Delta f_n - \frac{\beta'' l v_l}{d} - \frac{\Phi v_d}{d} \right) (v_d)^{-1},$$

где  $\beta''$  — коэффициент поглощения в пьезодиэлектрике,  $l$  — толщина преобразователя,  $d$  — толщина исследуемого слоя,  $v_l$  — скорость звука

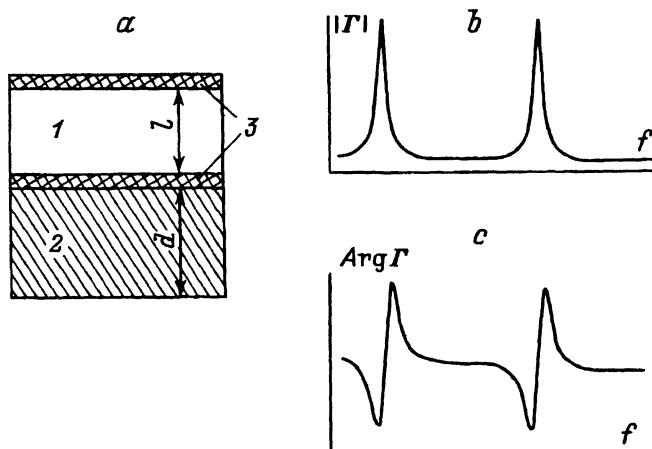


Рис. 1. Структура составного акустического резонатора для измерения акустических параметров исследуемых материалов (а) и частотные зависимости амплитуды  $|\Gamma|$  (б) и фазы  $\text{Arg}(\Gamma)$  (с) коэффициента отражения электромагнитных волн от резонаторной структуры.

1 — слой пьезоэлектрика, 2 — слой исследуемого материала, 3 — металлические электроды.

в пьезодиэлектрике,  $\Phi$  — общие паразитные потери за один проход, связанные с дифракцией, отражениями и непараллельностью. Здесь не учитываются потери в металлических электродах, так как обычно из-за малой толщины электродов их вклад в общие потери пренебрежимо мал по сравнению с другими составляющими потерь в резонаторе [5,6].

Для составного резонатора резонансные пики обычно наблюдаются в достаточно широком частотном диапазоне (до нескольких GHz). Расстояние между соседними резонансными пиками зависит от толщины структуры и составляет 1–10 MHz. Таким образом, используя один и тот же образец, можно измерить частотную зависимость коэффициента поглощения и скорости звука в исследуемом материале для широкого диапазона частот. Важно, что для определения коэффициента для широкого диапазона частот. Важно, что для определения коэффициента поглощения в широком частотном диапазоне требуются только измерения разности частот экстремумов на фазово-частотных характеристиках.

Метод составного акустического резонатора достаточно информативен для изучения дополнительных паразитных потерь, возникающих из-за неидеальности отражения акустических волн от поверхностей резонатора. В отличие от эхометода амплитуда и фаза измеряемого коэффициента отражения электромагнитных волн от резонаторной структуры определяется многоразовыми отражениями акустических волн от плоскостей, ограничивающих составной резонатор.

Для проведения измерений коэффициента поглощения и его частотных зависимостей изготавливались составные резонаторные структуры с использованием плоскопараллельных пластин из лангасита, ориентированных в основных кристаллографических направлениях, с приблизительными размерами: по ширине — 2 mm, длине — 3 mm, толщине — 0.2–0.8 mm. Пластины оптически полировались (по 14 классу). В лучших образцах непараллельность плоскостей поверхностей составляла менее 8''. Ориентация пластин по отношению к осям была лучше чем 0.3°. Плотность дислокаций составляла не более  $10^2 \text{ cm}^{-3}$ . На пластины наносились тонкопленочные пьезоэлектрические преобразователи, выполненные из ZnO с электродами из Al. Электроды имели толщину 1000 Å. Диаметры преобразователей варьировались от 200 до 600 μm. Пленки ZnO для различных образцов имели толщины от 4 до 8 μm.

Для нахождения поглощения были проведены измерения особенностей фазово-частотных характеристик коэффициента отражения электромагнитных волн от резонатора, помещенного в специальный держатель, который позволял проводить измерения как при комнатной температуре, так и при температуре жидкого гелия. При этом были использованы стандартные измерители комплексных коэффициентов передачи P4-37, P4-38 и P4-66. При помощи трансформаторной линии входное сопротивление резонатора рассогласовывалось с измерительным 50-омным трактом, чтобы избежать ошибок, возникающих в случае сильной связи между резонатором и внешней линией [6].

Частотные зависимости полных потерь в резонаторе измерялись вначале при комнатной температуре, а затем при температуре жидкого гелия. Разность между этими значениями рассматривалась как потери в исследуемом материале. По оценкам [6], внутренними потерями в пленках ZnO для исследуемого диапазона частот фактически во многих случаях можно пренебречь.

## 2. Результаты эксперимента и их обсуждение

Экспериментальные частотные зависимости коэффициентов поглощения продольных и поперечных акустических волн в монокристаллах лангасита для  $Z$ -,  $X$ -,  $Y$ -срезов представлены соответственно на рис. 2, 3, 4.

На рис. 2,а показана частотная зависимость коэффициента поглощения продольных волн в кристалле  $Z$ -среза. В качестве примера показаны общие потери продольной моды (верхняя кривая I), пунктирная прямая — дифракционные потери, вычисленные в соответствии с [7]. Нижняя экспериментальная прямая II соответствует чистому решеточному поглощению, полученному после вычитания из кривой I для общих потерь частотной зависимости потерь при температуре жидкого гелия. Наклон прямой II в двойном логарифмическом масштабе соответствует квадратичной частотной зависимости, характерной для ахиэзеровского рассеяния акустических волн на тепловых фонах. Для сравнения крестиками 1 и 2 показаны данные по поглощению в кварце [7,8]. Из сравнения этих значений с измеренной кривой II следует, что коэффициент поглощения продольных волн в лангасите по порядку равен поглощению в кварце. На рис. 2,б представлена частотная зависимость коэффициента поглощения поперечных волн в  $Z$ -срезе. Подобно продольным волнам для этого кристаллографического направления, значения коэффициента поглощения поперечных

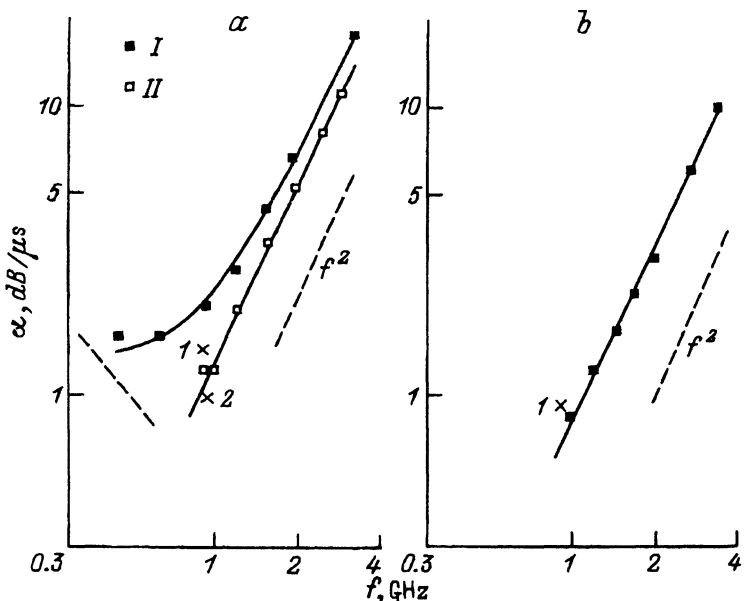


Рис. 2. Частотная зависимость поглощения акустических волн в  $Z$ -срезе лангасита:

а) — коэффициент поглощения продольных волн: I — полные потери, пунктирная прямая — рассчитанные дифракционные потери, II — решеточные потери в материале, крестики 1,2 — данные поглощения продольных волн в кварце [7,8];

б) — коэффициент поглощения поперечных акустических волн: крестик 1 — данные для поперечных волн из [9].

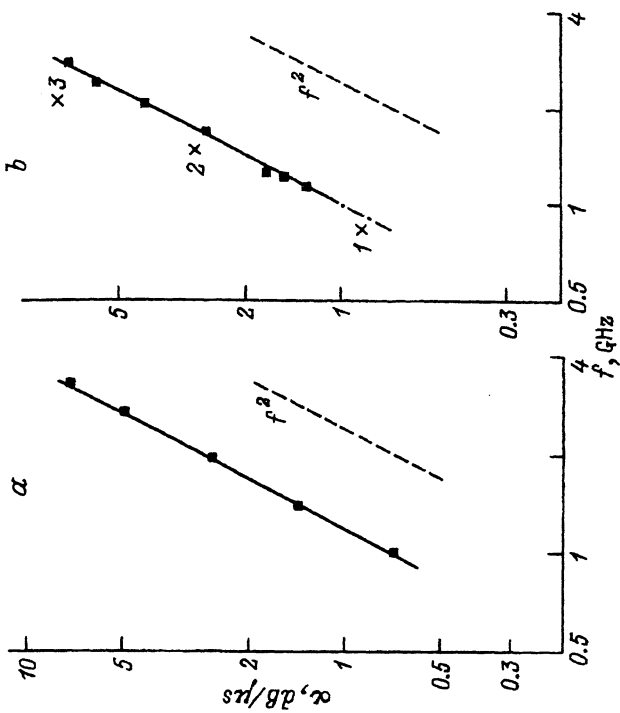


Рис. 4. Частотная зависимость поглощения акустических волн в Y-срезе лангасита.  
 а) — коэффициент поглощения квазитрехольных волн;  
 б) — коэффициент поглощения поперечной медленной моды:  
 крестик 1 — значение коэффициента поглощения продольных волн,  
 полученные эхометодом [4], крестики 2,3 — данные, полученные  
 для поперечных быстрой (1) и медленной  
 мод для поперечных волн в ВТ и АТ срезах кварца.

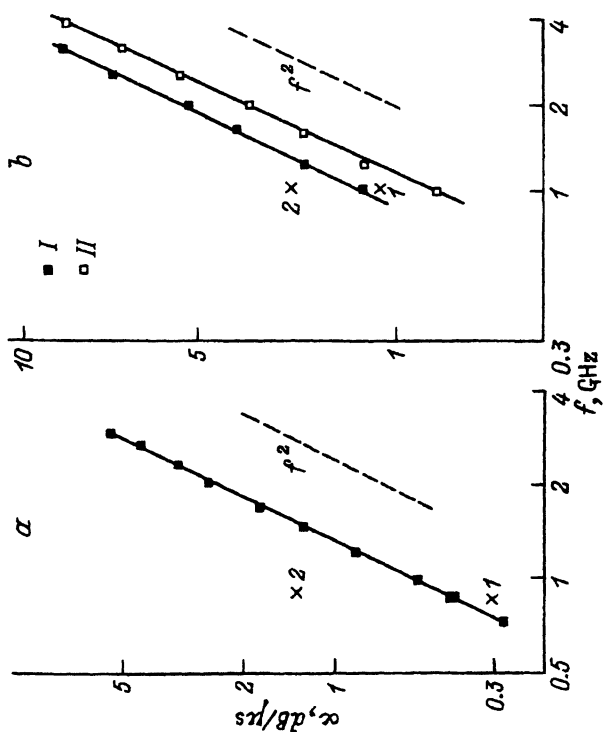


Рис. 3. Частотная зависимость поглощения акустических волн в X-срезе лангасита.  
 а) — коэффициент поглощения продольных волн: крестик 1 —  
 данные, полученные эхометодом [4], крестик 2 — коэффициент  
 поглощения для кварца [8];  
 б) — коэффициент поглощения поперечных быстрой (1) и медленной  
 (II) мод акустических волн, крестики 1,2 — коэффициенты  
 поглощения в кварце для быстрой и медленной мод соответственно.

Измеренные значения скоростей звука и приведенных  
коэффициентов поглощения для основных  
кристаллографических направлений лангасита

Направление распространения и поляризация	Скорость звука, $10^3 \text{ m/s}$	Поглощение, $\text{dB}/(\mu\text{s} \cdot \text{GHz}^2)$
$X$ -продольные	$5.78 \pm 0.01$	$0.52 \pm 0.05$
$X$ -быстрые поперечные	$3.31 \pm 0.01$	$1.31 \pm 0.05$
$X$ -медленные поперечные	$2.34 \pm 0.01$	$0.71 \pm 0.05$
$Z$ -продольные	$6.75 \pm 0.01$	$1.30 \pm 0.05$
$Z$ -поперечные	$3.01 \pm 0.01$	$0.85 \pm 0.05$
$Y$ -квазипродольные	$5.79 \pm 0.01$	$0.75 \pm 0.05$
$Y$ -медленные поперечные	$2.77 \pm 0.01$	$1.05 \pm 0.05$

воли в лангасите приблизительно равны поглощению в кварце (крестик 1 на рис. 2, б), рассчитанному в соответствии с [9].

Поглощение акустических волн в  $X$ -направлении также пропорционально  $f^2$  (рис. 3, б). Измеренные потери в случае продольных волн (рис. 3, а) совпадают в пределах экспериментальной погрешности с данными, полученными эхометодом [5] (крестик 1 на рис. 3, а). Частотная зависимость коэффициента поглощения поперечных волн в  $X$ -направлении показана на рис. 3, б. Верхняя и нижняя экспериментальные прямые I и II соответствуют быстрой и медленной модам. Потери в кварце для этого же направления заметно выше, чем в лангасите (крестик 2 для продольных волн на рис. 3, а и крестики 1 и 2 на рис. 3, б для быстрой и медленной поперечных волн соответственно) [7-9].

Экспериментальные данные для  $Y$ -среза представлены на рис. 4, а, б соответственно для продольных и поперечных волн. В обоих случаях наблюдается квадратичная зависимость коэффициента поглощения от частоты. Важные для практики значения поглощения для термостабильной медленной поперечной  $Y$ -моды совпали с данными, полученными эхометодикой [5] (крестик 1 на рис. 4, б). Кривая расположена ниже, чем измеренные нами значения для ВТ (крестик 2) и АТ (крестик 3) срезов кварца.

Экспериментальные значения коэффициента поглощения, выраженные в стандартных единицах  $\text{dB}/(\mu\text{s} \cdot \text{GHz}^2)$ , представлены в таблице. Таким образом полученные экспериментальные значения коэффициентов поглощения продольных и поперечных акустических волн в основных кристаллических направлениях лангасита показывают, что поглощение звука в монокристаллах лангасита меньше или приблизительно равно поглощению акустических волн в кварце для тех же направлений и поляризаций. Коэффициент поглощения для измеренных направлений и поляризаций имеет квадратичную зависимость от частоты в соответствии с теорией рассеяния на тепловых фонах Ахиезера. Отметим, что использованный метод позволяет оценить дополнительные потери, возникающие в резонаторах из-за дифракции акустических волн, непараллельности и шероховатости поверхностей.

Авторы выражают благодарность Ю.В. Гуляеву за поддержку работы и И.М. Котелянскому за изготовление преобразователей к исследуемым образцам.

### Список литературы

- [1] Kosinski J.A. Proc of the 6<sup>th</sup> Conference «Acoustoelectronics'93». Varna, Bulgaria (September 19–25, 1993), P. 61–74.
- [2] Gualtieri J.G., Kosinski J.A., Ballato A. Proc of the 7<sup>th</sup> Europ. Frequency and Time Forum. Neuchatel, Switzerland (March 16–18, 1993), P. 231–234.
- [3] Kaminski A.A., Silvestrova I.M., Sarkisov S.E. Phys. Stat. Sol. (a), **80**, 607 (1983).
- [4] Kaminski A.A., Belokoneva E.L., Mill B.V., Pisarevskii Yu.V., Sarkisov S.E., Silvestrova I.M., Butashin A.V., Khodzhabagyan G.G. Phys. Sat. Sol. (a) **86**, 345 (1984).
- [5] Mansfeld G.D., Freik A.D., Krutov B.N. Proc. of the 7<sup>th</sup> Europ Frequency and Time Forum. Neuchatel, Switzerland (March 16–18, 1993), P. 261–266.
- [6] Крутов Б.Н., Мансфельд Г.Д., Фрейк А.Д. Акуст. журн. **40**, 4, 633 (1994).
- [7] Морозов А.И., Проклов В.В., Станковский Б.А. Пьезоэлектрические преобразователи для радиоэлектронных приборов. М. (1981), 184 с.
- [8] Auld B.A. Acoustic fields and waves in solids. N. Y. London-Sydney-Toronto (1973), V. 1, 425 p.
- [9] Lamb J., Richter J. Proc. Roy. Soc. **A293**, 479 (1966).